

# 泵的試驗与研究

译 文 集

一机部通用机械研究所

一九八一年七月

---

泵的試驗与研究  
譯文集

1981年7月

編輯 第一机械工业部  
出版  
发行 通用机械研究所  
印刷 中国科技大学印刷厂

---

# 前　　言

近年来国外在泵制造和科研方面均取得相当大的进展，特别是在泵的試驗方法和理論研究方面有所提高，值得我們借鉴。

本譯文集收集了近十年来国外有关离心泵和往复泵試驗研究方面的一些文章。其中有关試驗方法的內容包括：試驗裝置和設備；試驗內容和程序；測試手段和實驗室布置；数据處理和精度分析。有关理論研究的內容包括：离心泵叶輪和誘導輪叶栅內的流动分布；压力脈動；泵的特性和汽蝕；軸向力和徑向力；噪音和振动；往复泵动力学及閥运动分析等。可供从事泵的設計、試驗、使用、教学和科研的有关工程技术人员参考。

由于我們水平不高，錯誤和不当之处在所难免，希望讀者批評指正。

編　　者

一九八一年七月

# 目 录

## 离心泵部分

1. 离心泵的汽蚀試驗方法.....	( 1 )
2. 路易士研究中心在泵的汽蝕試驗研究方面所应用的設備和技术.....	( 15 )
3. 水輪机、泵的特性試驗.....	( 36 )
4. 水輪机和泵—水輪机进行模型性能試驗的現代化實驗室.....	( 47 )
5. 为滿足現代标定工作需要而設計的大型水力實驗室.....	( 59 )
6. 离心泵叶輪上的径向力.....	( 72 )
7. 单叶片叶輪离心泵的径向力.....	( 83 )
8. 关于作用在离心泵轉子上軸向力的确定問題.....	( 92 )
9. 关于沿二元理論設計之离心泵叶輪任意几何形状薄叶片表面的压力 分布的理論研究.....	( 97 )
10. 火箭泵用誘導輪內流动的試驗和分析研究.....	( 113 )
11. 用于污水处理的离心泵叶輪設計的研究.....	( 139 )
12. 带双重叶栅式叶輪离心泵的研究.....	( 147 )
13. 离心泵叶輪后方的变流动.....	( 159 )
14. 噪音測量是泵試驗中的补充檢驗方法.....	( 171 )
15. 大型离心泵內的振动現象.....	( 179 )

## 往复泵部分

16. 提高容积式泵流量的測量精度.....	( 189 )
17. 輸送粘性液体用計量泵流量精度的研究 .....	( 193 )
18. 高速往复泵的动力学問題.....	( 197 )
19. 农用往复泵閥的运动及其模拟.....	( 212 )
20. 閥設計对柱塞泵必須的淨正吸入压头的影响.....	( 222 )
21. 研究活塞泵閥工作的裝置.....	( 232 )
22. 泵特性曲綫試驗台.....	( 240 )
23. 新型大流量高压低溫活塞泵.....	( 243 )

# 离心泵的汽蚀试验方法

田岛清瀬、大田英輔 千叶薰

## 1. 前 言

关于泵的汽蝕性能在 ASME (Power Test Codes)、ISO 等标准里規定了試驗方法和表示形式等。对于試驗方法指定采用下述三种方法的一种：

- (i) 改变吸入側的水位；
- (ii) 用裝在吸入管路里的节流装置来調節泵的吸入压力；
- (iii) 把泵安装在封閉回路內，調節压力或者蒸汽压。

这个規定里假設了不論用那种試驗方法，算得的汽蝕性能都相等。可是，根据作者进行的試驗，发现用不同的試驗方法，其入口流动状态不一样，这对算得的汽蝕性能有一定的影响。若对在泵的性能曲綫比正規揚程減少 3 % 时的 NPSH (ISO 規定) 进行比較，用 (ii) 的方法时，由于在节流处发生汽蝕，其算出的 NPSH 可能要比用 (i) 的方法算出的 NPSH 小得多。

本文是关于用特別設計的可以控制水位的吸入水槽来研究吸入管部分的节流对泵的性能及吸入部分的流动状态的影响的試驗結果。还用透明的吸入管来觀察吸入管部分的流动状态。

## 2. 在 ISO 及 ASME 标准中的汽蝕試驗方法

在 ISO 及 ASME 的标准中規定了三种方法。但是，这两个标准在試驗装置的細節部分有一些差異，作者的實驗也对这一部分进行了探討。因此，为便于参考，下面对标准中所提出的三种方法作概要的叙述。同时，还列举出以前报告过的实例。

### (i) 改变吸入側水位的方法

采用可以把水位調節到使泵內产生汽蝕的足够深度的水槽，改变水位来进行試驗（参照图 1）。在 ASME 中也提到做成封閉的水槽，同时改变气压的方法。用这种装置的試驗報告很少見到。

### (ii) 用节流來調節吸入压力的方法

按 ISO 規定，要把节流装置設置在吸入側管路上尽可能低的位置上 \* 来調節吸入压力

\* 借此来考慮防止在节流处发生汽蝕和混入空气，关于这个問題可以參照付記；

(参照图 2 (a)). 串联二个以上的节流装置\*\*，或者使介质从装设在节流装置与泵之间的密

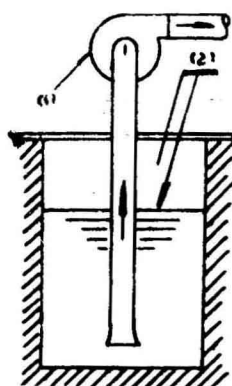


图 1 改变吸入侧水位的方法

- ① 被試泵；
- ② 調節可能的氣壓 (ASME)  
或調節可能的水位。

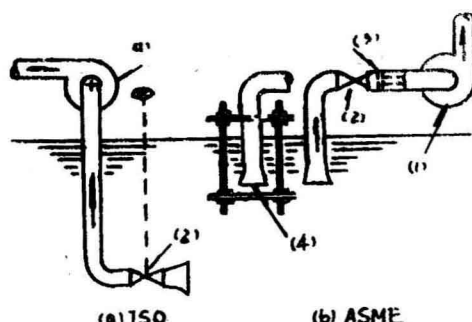


图 2 用节流调节吸入压力的方法

- ① 被試泵；② 节流伐；
- ③ 整流柵；④ 調節入口與板之間  
的間隙

闭容器中排出，可以避免由于节流装置发生汽蚀，特别是在低 NPSH 場合，必需有档板或把空气从容器中抽出。若节流装置設在距泵的入口小于 12 倍吸入管径的距离，当节流装置半开时，必須確認吸入压力測点位置处的管路內充满液体。

按 ASME 規定 (参照图 2 (b)), 在节流装置的后面設置整流裝置以便消除入口的亂流。在 NPSH 低的場合，在节流装置或整流裝置處发生汽蝕要影响試驗結果。

### (iii) 用封閉回路的方法

泵設置在裝有能調節壓力的容器的封閉回路內 (参照图 4)，不改变泵的總揚程和流量，而改变壓力或者蒸汽壓直至泵內發生汽蝕。考慮到不使游離的氣體被吸入到泵內來，有時也裝有整流裝置。另外，還需要有不易發生汽蝕的特別結構的伐。

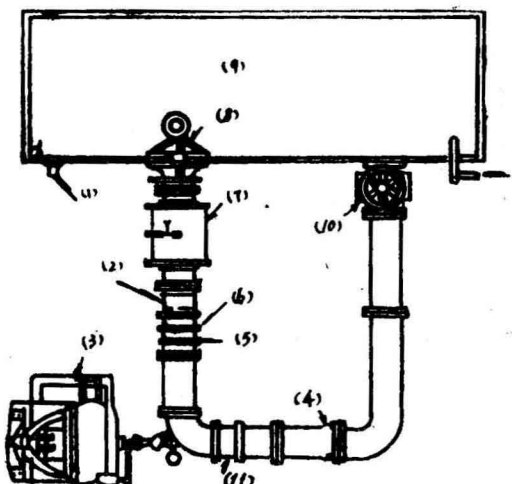


图 3 用节流装置調節吸入压力的实例

- ① 1 个水管；② 整流板；③ 測功机；
- ④ 排出側靜压測量孔；⑤ 多孔管；
- ⑥ 許多個皮托管；⑦ 消泡罐；
- ⑧ 吸入側錐閥；⑨ 定位水槽；
- ⑩ 排出側閘閥；⑪ 被試軸流泵 φ280

\*\* 根据作者实验，因在泵前面的节流装置要发生汽蝕，对这个規定有疑問。

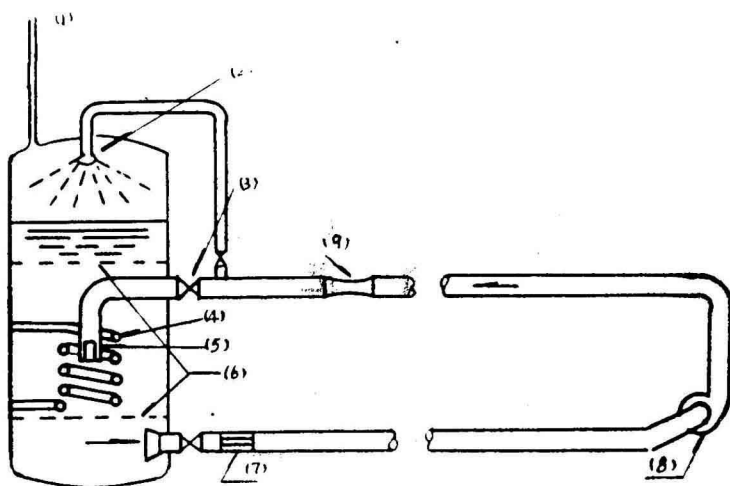


图 4 用封闭回路的方法

- |                                 |               |        |
|---------------------------------|---------------|--------|
| ① 通調節真空度或壓力；                    | ② 用于水脫氣的噴頭；   | ③ 节流閥； |
| ④ 冷却或加熱用的蛇形管；                   | ⑤ 設在進口處的整流裝置； |        |
| ⑥ 整流柵（當容器內平均速度 $>0.25$ 米/秒時採用）； | ⑦ 整流柵；        |        |
| ⑧ 試驗泵；                          | ⑨ 流量計；        |        |

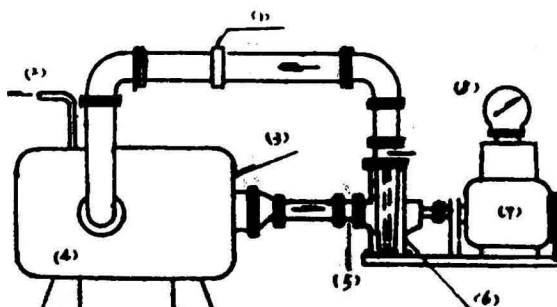


图 5 用封闭回路的方法实例

- |                          |          |
|--------------------------|----------|
| ① 孔板；                    | ② 通真空泵；  |
| ③ 內部沒有隔板，設置整流板來整流入口流动状态； | ④ 容器；    |
| ⑤ 水銀差壓計；                 | ⑥ 試驗泵；   |
| ⑦ 測功机；                   | ⑧ 水銀差壓計。 |

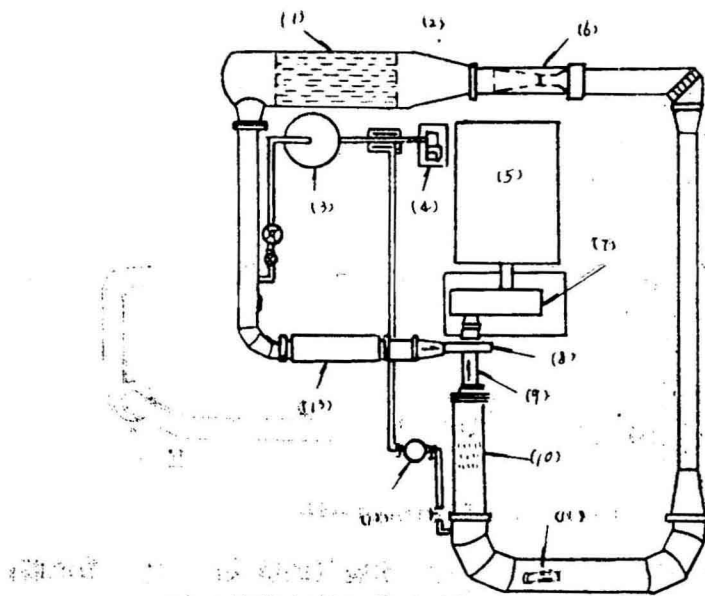


图 6. 用封闭回路的方法实例

- |         |           |        |        |
|---------|-----------|--------|--------|
| ① 热交换器； | ② 循环泵；    | ③ 除气罐； | ④ 真空泵； |
| ⑤ 电机；   | ⑥ 文吐里流量計； | ⑦ 齿輪箱； | ⑧ 集流器  |
| ⑨ 試驗段   | ⑩ 整流管；    | ⑪ 儲氣筒； | ⑫ 滤器   |
| ⑬ 控制閥。  |           |        |        |

### 3. 用节流装置调节吸入压力方法的实验研究

#### 3.1 实验装置和方法

这个实验用的装置示于图7。吸入水槽由二个底部互相连通的深水槽组成，控制由调节伐来的给水量，可以任意给定水位。把吸入管路设在注满水的透明水槽中，以防止空气通过节流装置或法兰从吸入管周围混入到吸入管内。主要配管的尺寸及各参数的测量按照ISO标准，测量误差也按ISO标准处理。但是，为了避免泵进口回旋流的影响，吸入压力是在距泵入口 $4D$ 的位置进行测量。 $(D\text{---}吸管的直径})$

采用调节吸入压力的节流装置进行的试验是在水位一定的状态下，改变节流装置的开度 $\alpha$ ，来给定吸入压力。节流装置用闸伐或节流孔板。运转工况由排出侧阻力而定。还有，实际吸入水位是 $-1.25 \sim -9.25 \pm 0.01(m)$ 的范围，泵转速是1915和2950转/分。

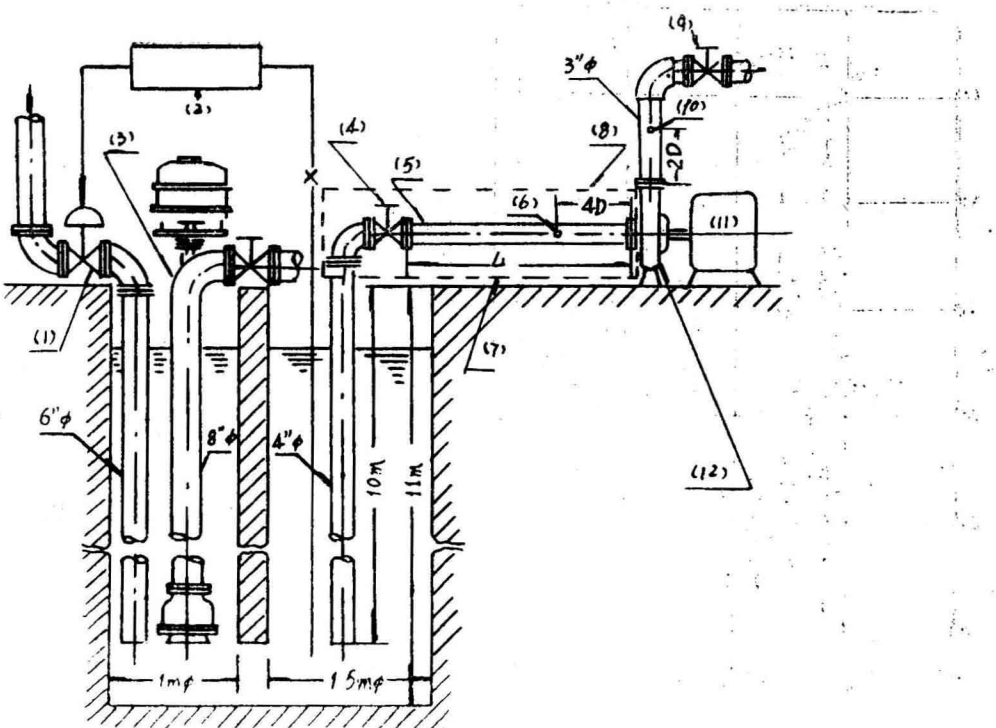


图 7 水位調節水槽和泵性能試驗装置

- |                          |   |                            |       |
|--------------------------|---|----------------------------|-------|
| ① 調節伐                    | ② 水位給定  | ③ 深井泵                      | ④ 节流孔 |
| 板或閘伐 (JIS B2043, 各义直径 80 |   | ⑤ 丙稀酸塑料管 $\phi 3"$         |       |
| ⑥ 吸入压力測量点                |   | ⑦ 节流孔板: 20D; 閘伐: 14D, 25D; |       |
| ⑧ 水封部分                   | ⑨ 排出伐   | ⑩ 排出压力測量点                  |       |
| ⑪ 电动机                    | ⑫ 莎原 80DNWM 型泵 1410 轉/分, 0.6 米 <sup>3</sup> /分。 |                            |       |

### 3.2 性能的比較

#### 3.2.1 揚程曲綫 (图 8、9)

給定吸入側水位进行試驗时，泵一进入汽蝕状态下運轉，揚程就从正規值逐漸下降直到临介流量为止。（对应于揚程大幅度下降，而流量几乎不增加时的流量）

用节流裝置調節吸入压力來給定吸入压力时，其揚程曲綫形状有一些不同。当轉速为 2950 轉/分，用閘伐調節吸入压力时，按揚程曲綫的形状进行分类，从小流量开始依次是：

- (1) 揚程逐漸下降直到临介流量为止的流量区 (A 范围)。
- (2) 在临介流量的揚程曾一度从正規值上升，然后又下降的流量区 (B 范围)。
- (3) 从正規的揚程急激下降，而在下降过程中，又一度上升后再下降的流量区 (C 范围)。

按这个分类，当轉速是 1915 轉/分时，因为实际的流量小，相当于 C 范围的部分不存在。上面所說的揚程是由測定的吸入压力和排出压力按公式計算出来的視在揚程。在視在揚程上升的点，如后面所述那样，按給定相同揚程，算出的 NPSH 值有时会变得过小。

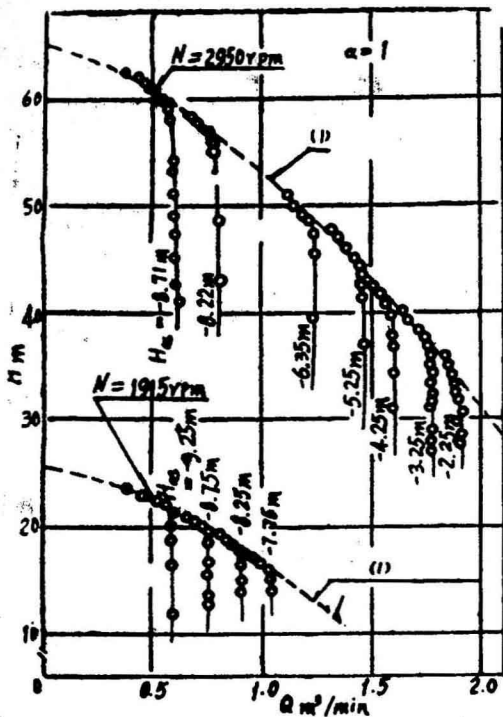


图 8 用调节吸入侧水位得出的  
扬程曲线  
① 正规的扬程曲线

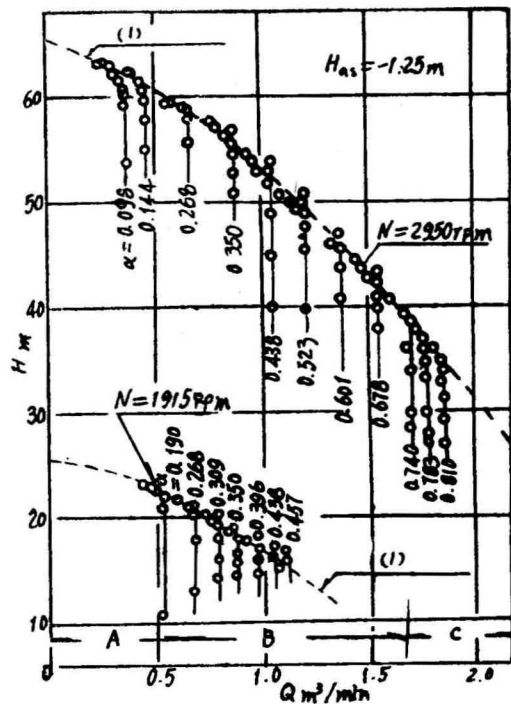
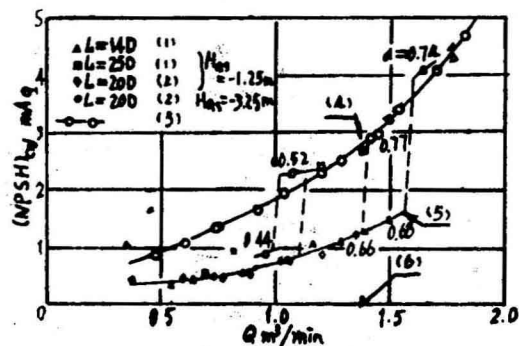


图 9 用节流装置调节吸入压力  
得出的扬程曲线（闸伐）  
① 正规的扬程曲线

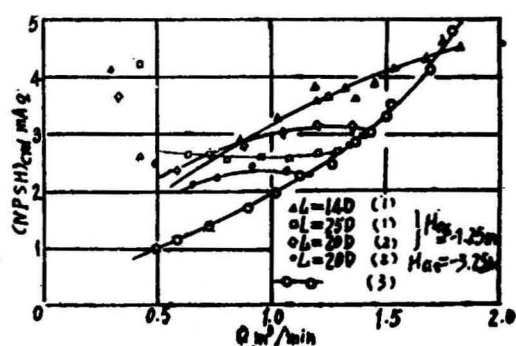
若同时调节水位以增大几何吸上高度，则各范围的界限向小流量方向移动。用节流孔板来代替闸伐作为节流装置时，这种倾向也不变。

### 3.2.2 NPSH

正如在 3.2.1 中所述用 (i) (ii) 两种方法得出的扬程曲线有差异。而且，用节流装



(a) 在扬程下降3%工况点 NPSH



(b) 在扬程开始下降这个点的 NPSH

图 10 用节流装置调节吸入压力时对 NPSH 計算結果的影响

- ① 闸伐； ② 节流孔板；
- ③ 调节吸入侧水位（标准性能）；
- ④ 节流的影响小；
- ⑤ 节流的影响大。
- ⑥ 最大效率点 2950 转/分。

置调节吸入压力，扬程曲线形状也不一样。另外，当扬程偏离正规值时，扬程有下降和上升两种情况。因此，提出了两个 NPSH 值，一个是扬程开始偏离正规值这个点上的有效净正吸入压头  $NPSH_{crd}$ ，另一个如同 ISO 的标准规定那样是对应于正规值下降 3% 这个点上的有效净正吸入压头  $NPSH_{crd}$ 。图 10 示出了这两个 NPSH 值与流量的关系。

用调节吸入侧水位的方法时，这两个 NPSH 值和以往的结果相同。与此相对应，当实际吸入水位  $H_{as} = -1.25$  米，使用节流装置调节吸入压力时，在 C 范围内这两种 NPSH 值，各自大体上与改变吸入侧水位时的结果相同。但是，在 A、B 范围内的  $(NPSH)_{crd}$  要大 1 ( $m\Delta q$ ) 以上，相反的  $(NPSH)_{crit}$  则要小同样的数值。这个事实显示出，采用不同的汽蚀性能的试验方法，计算出来的 NPSH 值是有差别的，这一点必须注意。计算上述的 NPSH 时，假定水位是充满了吸入压力的测点位置，并按流量计算出吸入管内的平均速度。

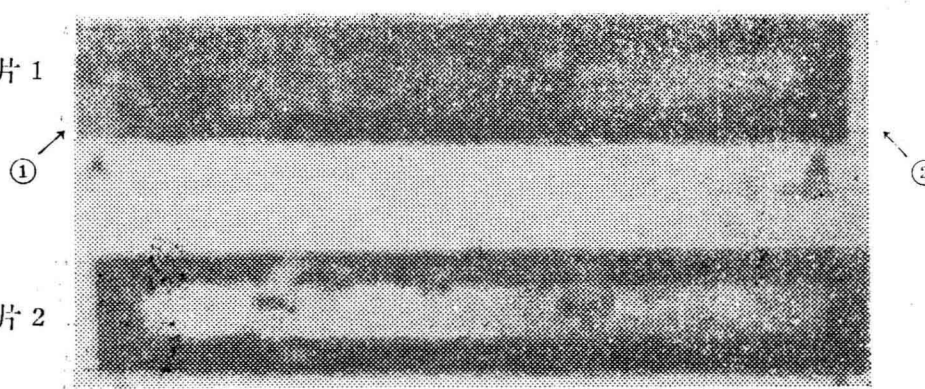
用节流孔板时，也有同样的倾向。这种试验方法，若实际吸上高度大，则  $(NPSH)_{crd}$  与改变吸入侧水位时的值相近。可是， $(NPSH)_{crit}$  却分布在与实际吸入水位  $H_{as} = -1.25$  米时相同的曲线上。当实际吸入水位  $H_{as} = -1.25$  米时，用节流孔板时的  $(NPSH)_{crd}$  比用闸伐时的要小。这是因为在用节流孔板进行试验时，在管路布置上吸入管路大大增长，也就增大了管路阻力之故。

### 3.2.3 对各范围的探讨

在 3.2.1 中提到使用节流装置调节吸入压力时，按流量范围扬程曲线的变化可以分为三种形状。在这里，我们来研究一下在各种情况下吸入管内的轴向静压分布以及节流装置后边的流动状况。

用节流装置调节吸入压力进行试验时，可以观察到在临介流量附近时，充满气泡的白浊状强汽穴从节流装置处产生（参照照片 1）。白浊部分的静压与对应于水温的饱和蒸汽压相近。但是，这个白浊状的汽穴消灭部分（没有合适的用语，下面就称为“白浊消灭部分”）的静压急剧地上升。随着排出侧阻力的减少，这个白浊消灭部分向泵的方向移动，最终到达泵入口（参照照片 2）。这时，是出现在泵内发生汽蚀之前，根据白浊消灭部分是否通过吸入压力的测点位置，所得的扬程曲线就出现前面所述的差异。采用节流孔板の場合形成喷流（参照照片 3），当这喷流扩散到充满管道的整个断面的位置就相当于白浊消灭部分。保持

照片 1

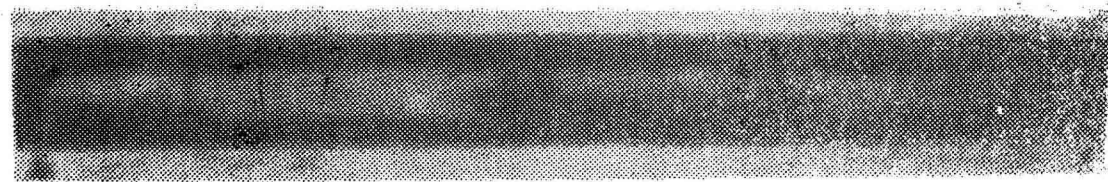


照片 2

照片 2 到达泵吸入口时的白浊状的汽穴

① 泵吸入口      ② 闸伐

① 泵吸入口      ② 闸伐



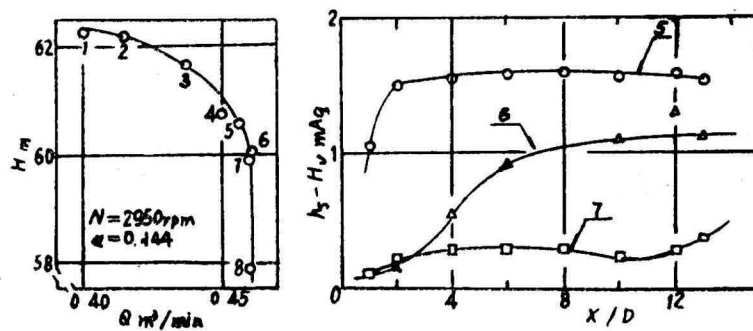
① 泵吸入口

② 节流孔板

照片 3 由节流孔板产生的喷流状的汽穴

吸入侧的水位及节流装置的开度不变，单单是降低排出侧的阻力来进行测量。

首先举出实际水位  $H_{as} = -1.25$  米、转速  $N = 2950$  转/分采用闸伐来调节吸入压力时的情况，并从特征最明显的  $B$  范围开始说明，其次再叙述扬程已从正规值下降而又上升的  $C$  范围，最后叙述  $A$  范围。



(a) 扬程曲线

(b) 对应于 (a) 的压力分布

图 11 在  $A$  范围的吸入管轴向压力分布

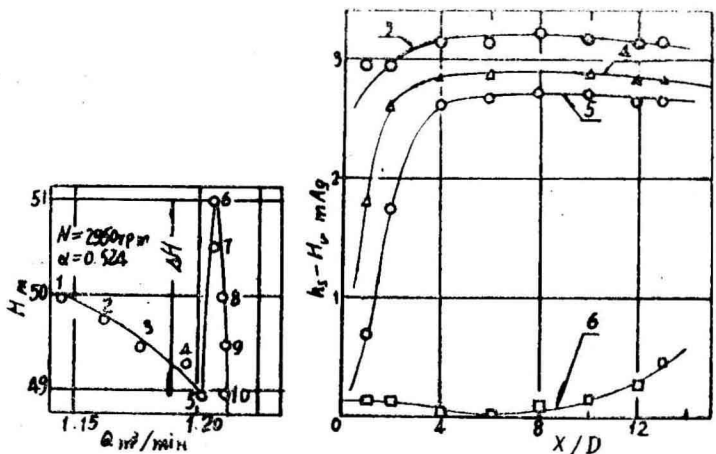
① 距伐门的距离  $X/D$

### (1) $B$ 范围

在  $B$  范围内，由于白浊消灭部分通过了吸入压力的测点位置，扬程从正规值上升这是  $B$  范围的特点。白浊消灭部分通过与不通过吸入压力测点位置时，两者吸入压力的差，大体上等于因气泡的存在，使吸入管的有效面积减少，而流体的速度增加所产生的动压差。在图 12，静压急激回复的位置对应于白浊消灭部分。在曲线 5 与 6 之间白浊消灭部分通过吸入压力的测点位置时，扬程出现上升。图 14 是在扬程上升的前后，把皮托管插入吸入压力的测点位置测得的管断面压力分布曲线。对于这样激烈的二相流动的压力测量还存在不少问题，但是可以用来作为大概的了解。在扬程上升前，白浊消灭部分位于闸伐的下游  $4D$  的位置。在扬程上升后，白浊消灭部分到达泵的入口。图中所表示  $(h_s + v^2/2g)$  的虚线是代表认为吸入压力测点位置充满水时计算得出的总压头。式中： $h_s$  —— 吸入管内静压； $v$  —— 按流量计算出来的吸入管内平均流速； $H_s$  —— 对应于水温的饱和蒸汽压。在扬程上升前，这个总压头与实测值几乎一致。但是，扬程上升后实测值增大了，这个增值大体上有视在扬程的上升量  $\Delta H$  这么大。而在扬程上升前后泵的排出压力都不怎么变。

总之，在  $B$  范围，白浊消灭部分通过吸入压力测点位置时，扬程开始出现上升。在白浊消灭部分通过前，从  $(NPSH)_{crit}$  (参照图 10(b)) 可知，因为  $NPSH$  有足够的余量，不会

产生因泵內的汽蝕而出現的揚程下降（从正規值）。在白浊消灭部分通过后，由于汽泡引起



(a) 揚程曲綫

(b) 对应于 (a) 的压力分布

图 12 在 B 范围吸入管軸向压力分布

有效断面积的减少，使动压头增加，从而使视在扬程較正規揚程值大，两者的差大体是这个动压头的增大量。当扬程到达最大值后，白浊消灭部分充分发展，节流装置喉部压力接近于饱和蒸汽压时，流量就不变了。因此，若再开大排出伐扬程就一直下降。

另外，白浊消灭部分通过了吸入压力的测点位置时，与视在扬程上升相对应。相反地，表现了 NPSH 减少，其差值为动压头的增大量。

### (2) C 范围

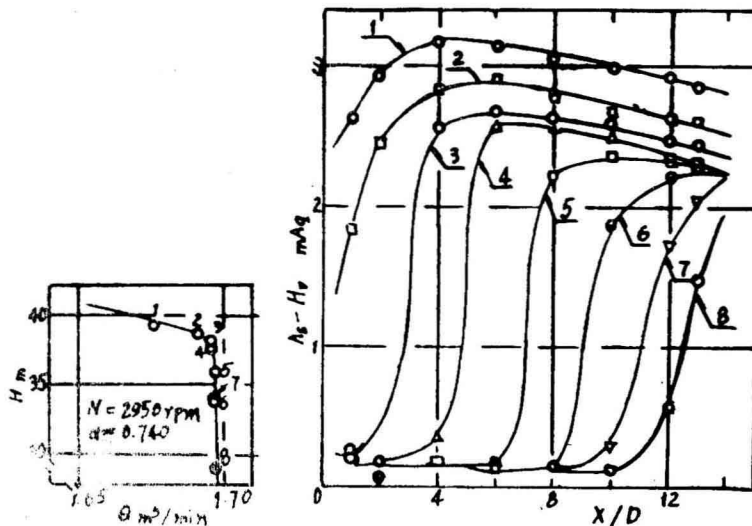
在这范围内，当扬程离开正規的曲綫下降后，视在扬程出現上升。图 13 中的从曲綫 6 上升到 7，就相当于这种情况。这是由于白浊消灭部分通过了吸入压力的测点位置所致。在这中間，由于排出压力約减少 1.5mAq，故视在扬程的上升量少。这是与 B 范围不同的，下面加以說明。

在調節吸入压力的节流装置产生的白浊状的气穴充分发展，若使流量及节流装置喉部的压力保持一定，而減少排出側的阻力，则会发生更强烈的汽蝕，要花更多的工夫来保持管路系統压力的平衡。从图 10(b) 可知，在 B 范围内  $(NPSH)_{crd}$  有足够的余量，叶輪处不会发生汽蝕。这种場合下，当节流装置处发生更强烈的汽蝕，含有气泡的白浊部分到达泵入口，泵也开始直接受到汽蝕的影响。对于这点，在 C 范围，因节流装置的开度較大  $(NPSH)_{crd}$  与改变吸入側水位值相近。因而叶輪处也开始发生汽蝕，管路系統压力的平衡是靠泵与节流装置两方面的汽蝕来保持的。在大流量区域，叶輪的汽蝕占支配地位，即使減少排出側的阻力，在調節吸入压力的节流装置处的汽蝕也不太发展。

这样，在白浊消灭部分通过吸入压力測点位置以前，泵內汽蝕而引起的揚程下降，是与入口负压的給定方法无关的。

### (3) A 范围

它是調節吸入压力的节流装置开度小的場合。由图 10(b) 的  $(NPSH)_{ard}$  可知，泵是处于远离汽蝕状态下安全地運轉。尽管如此，揚程还是下降，这点在下面加以說明。

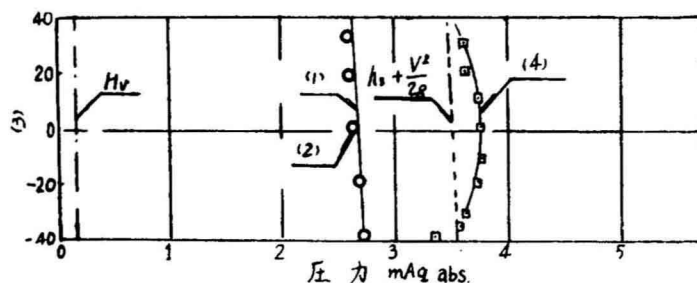


(a) 揚程曲綫

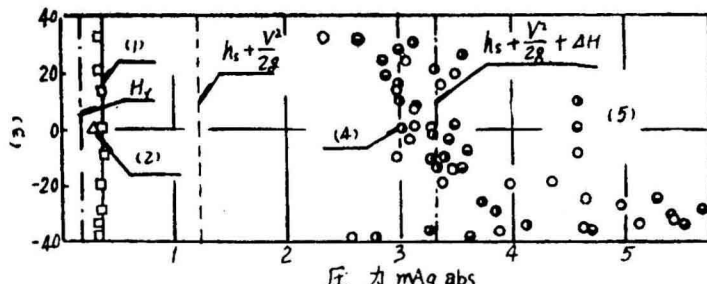
(b) 对应于(a) 的压力分布

图 13 在 C 范围吸入管轴向压力分布

因为节流装置的开度特别小，使吸入管内压力下降，由于节流处的汽蚀，使气泡游离激烈，气泡的数量及体积都大（参照照片 4）。同时随着流速的减小，气泡对泵的叶轮及泵壳内的流动影响就更大，因此泵本身的性能要下降。这种场合，在扬程下降之后，自洁消灭部



(a) 对应于图 12(a) 的实验点 5 的压力分布

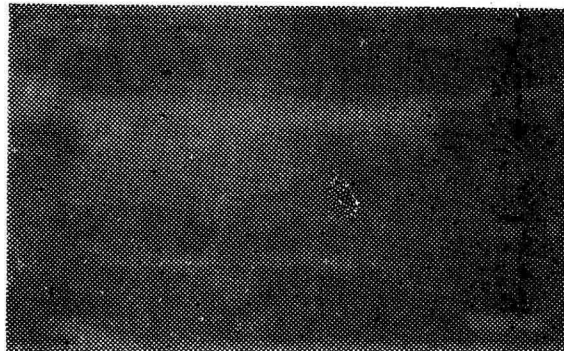


(b) 对应于图 12(a) 的实验点 6 的压力分布

图 14 在吸入压力测点位置管断面的压力分布

- |                    |                    |
|--------------------|--------------------|
| ① 根据静压管测得的 $h_s$ ; | ② 根据静压孔测得的 $h_s$ ; |
| ③ 离管轴线的距离;         | ④ 总压;              |
| ⑤ 皮托管插入方向。         |                    |

分虽然通过吸入压力的測点位置，但是因为流速小，視在揚程不会上升。



↑ 照片 4 吸入泵內的汽泡群  
①泵吸入口

### 3.2.4 决定临介流量的因素

取决于节流装置处发生气蚀的临介流量，若饱和蒸汽压一定，则决定于与节流装置的开度相对应的上游侧的压力。因而，这时泵的临介流量实际上由吸入侧的节流装置来决定。

为泵给定同样的  $(NPSH)_{cr,d}$  时，起因于叶轮汽蚀的临介流量理应因转速的不同而异。与此相反，起因于节流装置处汽蚀的临介流量与转速无关。图 15 示出节流装置的开度与临介流量的关系。由该图可知，开度小の場合，临介流量由节流装置决定。因此，失去作为汽蚀性能试验的意义。

### 3.2.5 泵的运转状态

图 16 是以泵在不同的  $(NPSH)_{cr,d}$  值下的运转工况之比转速  $n_r$  与托马汽蚀系数  $\sigma$  的关系来表征  $(NPSH)_{cr,d}$  的曲线。采用调节吸入侧水位の場合， $\sigma$  与转速无关，可知泵是处于相似运转状态。另一方面，用节流装置の場合与这曲线不相符合。而且不同转速的曲线相差较大。与由流量和转速来决定  $(NPSH)_{cr,d}$  相反，若实际吸入水位一定，则节流装置的汽蚀的发生仅决定于流量。

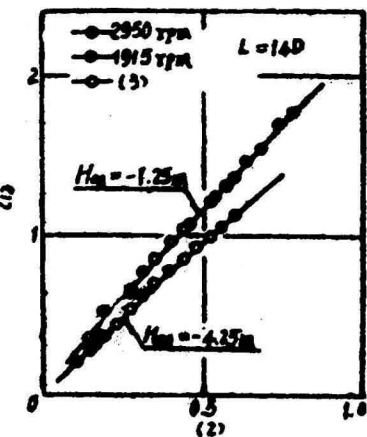


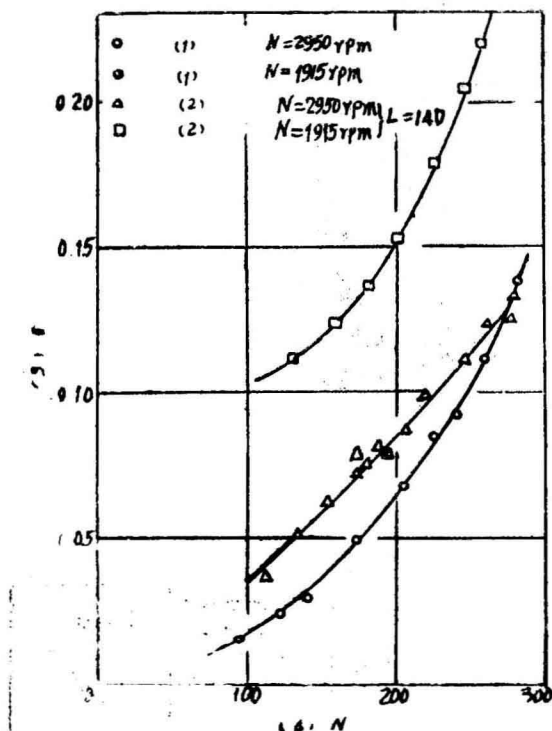
图 15 节流装置的开度与  
临介流量的关系 (閘伐)

- ① 临介流量；
- ② 开度  $\alpha$ ；
- ③ 重复曲线。

## 3.3 节流装置对入口流动影响的研究

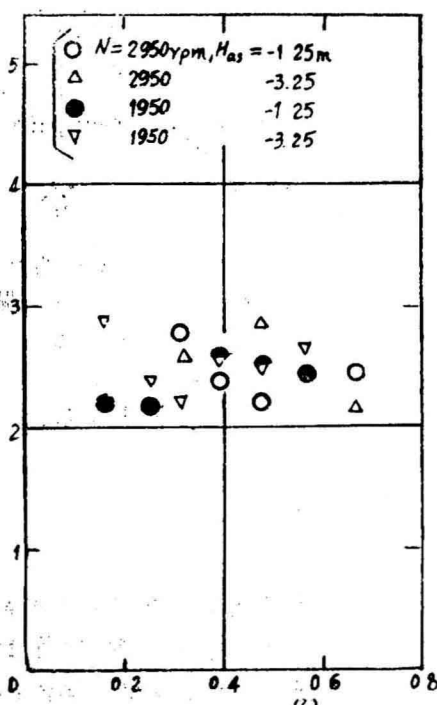
### 3.3.1 汽蚀的状况

在节流装置产生的汽蚀的状况，因节流装置形状不同而有所区别。在汽蚀的初期阶段，可以观察到闪光状的微小气泡。微小气泡开始产生时，节流喉部汽蚀系数如图 17(a) 所示，汽蚀系数  $h_{th}$  与实际吸入水位、转速、开度无关， $h_{th}$  值都在 2 ~ 3 之間。当汽蚀发展到白浊状的强烈状态时，其汽蚀系数如图 17(b) 所示，与初始点相比  $h_{th}$  值变得非常小。白浊部分进一步发展，在节流孔处形成喷流（参照照片 3），吸入管内产生空穴，有效截面积明显减少。采用閘伐の場合，通过喉部后，喷流冲击管壁，白浊状的汽泡扩展到整个吸入管。

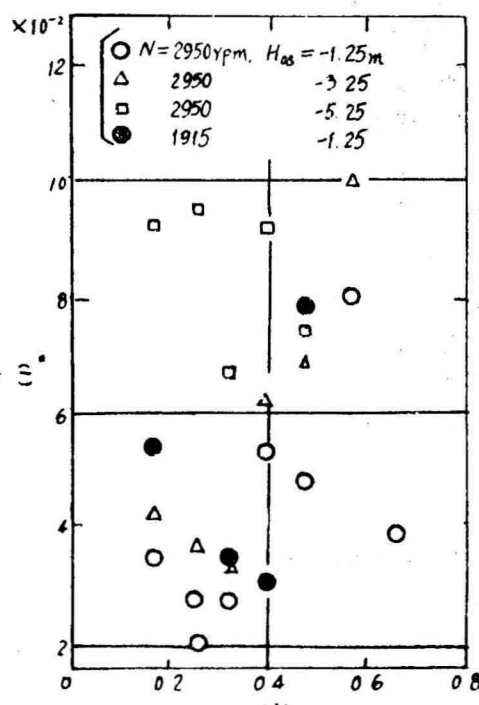


- (1) 調節吸入側水位；
- (2) 用閘伐調節吸入壓力；
- (3) 托馬汽蝕系數  $\sigma$ ；
- (4) 比轉數  $N_r$ 。

图 16 在揚程下降开始点的汽蝕系数



(a) 开始发生汽蝕时



(b) 到达临介流量时

图 17 在节流孔板喉部的汽蝕系数

- (1) 汽蝕系数；
- (2) 开度  $\alpha$ ；

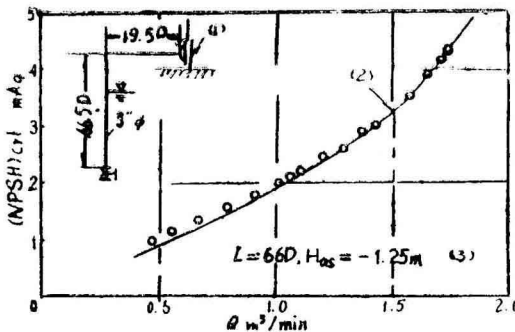


图 18 把调节吸入压力的节流装置設置在水面下时的 NPSH (下降 3 % 的点)

(1) 泵; (2) 調節吸入側水位時; (3) 閘伐;

(參照照片 2)。

### 3.3.2 关于节流装置与泵之間的距离

在 C 范围, 节流装置与泵之間的距离要长, 希望在白浊部分未通过吸入压力測点位置的状态下进行試驗。实际上, 要使白浊消灭部分停留在吸入管中途是困难的, 稍微减小排出側的阻力就会大大改变它的位置。另外当用閘伐进行試驗时, 到泵入口的距离从 14D 延长到 25D 的地方, 虽然白浊消灭部分的移动变得較难, 但气泡的游离變得更激烈, 产生与 A 范围同样的結果, 节流装置的影响仍然很大。

## 4. 后 记

上面對小型離心泵根据 ISO 的規定进行汽蝕性能試驗时因試驗方法的不同而产生的差異进行了探討。也就是說, 以調節吸入側的水位方法得出的性能为基准, 研究了采用节流裝置調節吸入压力的代替方法之适用性。二种方法得出的性能不一定相同, 并指出后者容易产生誤差。但是, 本實驗的范围有一定的限制, 对各种尺寸, 类型的泵之定量研究也許必須从更广泛的范围内进行。另外 NPSH 的評价基准也是重要的因素, 本文是按 ISO 标准以从正規揚程下降 3 % 这一点的 NPSH 来进行評价的。沒有对以 ASME 标准为基准的性能进行比較。但是, 可以認為会有同样的結果。莫如說文中指出的問題是在提出这个基准以前就應該注意的問題。

归根到底, 使用节流裝置調節吸入压力时, 存在二个問題: 一是水中含有的空气因节流而游离出来或者由于节流裝置的汽蝕产生的气泡群对下游的泵产生影响; 二是节流裝置或泵到底那一个发生的汽蝕决定临介流量。对小流量的試驗, 因为吸入压力接近于飽和蒸汽压, 所以节流裝置的开度只能是小的。这样的結果

(1) 游离出来的气泡群引起泵工作情况恶化和不規則的运动。并且使揚程提前开始下降, NPSH 变大。

(2) 随着节流裝置处汽蝕的增强, 吸入管有效面积显著地减小, 就不能忽視表現动压头的增加。揚程曲線发生了特別的变化, 在作者的實驗中, NPSH 只有約 1mAg 这样小的值。